

正石 橋達哉(新潟大) 正下田 茂(新潟大工) 学青藤 塚(新潟大院)

### 1. 緒言

前報<sup>(1)</sup>においては、先端球圧子と大質量金属試料平面との衝突を扱い、先端球保持軸の弾性を考慮するにより、諸量間の定量的関係を見出した。それに基づき、最大衝突力と圧子の跳ね上り高さ、の2測定量による圧子と試料の弾性パラメータの式を提示し、プラスチックにも若干の考察を加えた。

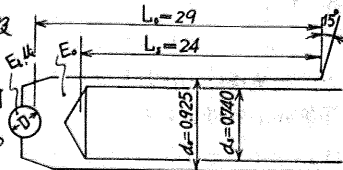
本報においては、金属に対する得られた式と、プラスチックとの衝突に適用した場合の意味を、試料の静的・動的特性、方向性、温度特性を基にして明らかにし、広範な試料に対する式の有用性を検討した。

### 2. 記号

$w, h_{oa}, h_{ra}, D$ : 圧子の重量、落高、跳高、先端球直径  $L_o, L_s, d_o, d_s, E$ : 先端球保持軸の有効長(外、内)、直徑(外、内)、ヤング率  $d_p, s_p, D_p$ : 永久くびきの直徑、深さ、曲率半径の2倍  $E_t, E_s, \mu_t, \mu_s$ : 球と試料のヤング率、ボアソン比  $f(E) = (1 - \mu^2)/E + (1 - \mu_s^2)/E_s$ : 圧子(球)と試料の弾性パラメタ  $E_{st}(b), E_{dy}(b)$ : 試料の曲げ、曲げ振動による静的、動的ヤング率  $E_{st}(I, o, B)$ : 圧縮による試料のI(衝突)、B(引か)ヤング率  $F_m$ : 最大衝突力  $h_k$ : 保持軸に対する弾性エネルギーと圧子の跳高相当分  $H_a = h_{ra}/h_{oa}$ : 反発率  $H_t = (h_{ra} - h_k)/(h_{ra} - h_k)$ : 球と平面との間の反発率

### 3. 圧子、試料中のヤング率等について

3.1 圧子 金属と比べて、プラスチックとの衝突力は小さいので、前報のSS3圧子の出力UPをえた。図1のように保持軸の中空化を図り、出力は約E<sub>t</sub>より0.02 volt/kg(B.V.=8 volt)と3倍近く高くなっている。この圧子のh<sub>k</sub>は、前報と同様であるが、図中の式(3.1-1)で示されるところなる。先端には直徑0.3cmの超硬合金球( $E_t = 6.2 \times 10^6$  kg/cm<sup>2</sup>,  $\mu_t = 0.21$ )を接着固定し、總重量は0.642kg, 名称をNSS3圧子とする。圧子重量は可変の構造となっている。



$$h_k = \frac{2L_o F_m^2}{\pi d_s^2 E_t w \left(1 - \left(\frac{d_s}{d_o}\right)^2\right)} \left[ \left(\frac{L_o}{L_s}\right) + \left(1 - \left(\frac{L_o}{L_s}\right)\right) \left(1 - \left(\frac{d_s}{d_o}\right)^2\right) \right] \quad (3.1-1)$$

3.2 試料 表1に示す金属試料は前報と同じもの。表2に示すプラスチックの衝突用試験片(6.5cm径), ヤング率等の測定用試験片は、1cm厚の板状より採取した。

3.3  $E_{st}(b)$ の測定 図2-1のよどみ幅、高さ約1cmの試験片の固定端近くの上下面にゲージ貼り、その自由端に静荷重を加え( $l \approx 13$ cm), 図中の式(3.3-1)より値を得た。数値の読み取りは載荷後20秒としている。

3.4  $E_{dy}(b)$ の測定 図2-1に示すが、自由端部に付加重量の重心から一致する工夫したもの用い、 $W_A = 0, \approx 30, 50, 100, 200$ gを付加し、自由振動を生じさせ、その記録波形の解析より $f_m$ を得、図中の式(3.3-2)より値を得た。なお、試料が軟いため、均一に固定するよう工夫した。

3.5  $E_{st}(I), E_{st}(B)$ の測定 試験片と板状より採取しているため、その(配)向性を考慮する必要がある。板状の厚さ方向をI(圧子の衝突方向)とし、それと直角な方向をBとする。曲げ試験(図2-1)用いたと同じ形状のものを切断し、I方向、B方向に3枚重ねて接着したものと2枚のゲージを貼り(ボアソン比の測定のものは、さらにその上に直角に2枚のゲージ)、圧縮試験機により載荷した。数値の読み取りは20秒後である。なお、測定物の弾性係数により、ゲージ率は変化するため、メータのデータを用いて、ゲージ率の補正を行ない、最終的な $E_{st}(b), E_{st}(I), E_{st}(B)$ を算出している。また $E_{st}(b) = E_{st}(B)$ との差は、PEを除き数%位の差であった。クリーフ<sup>(3)</sup>はPEで非常に大きく、N6でかなりみられた。図3-1, 2 K室温(試料温度)と

日本機械学会・精機学会北陸信越支部北陸地方講演会(福井)講演論文集('79-6-1) No.797-1

試料	カット	$E_t$
当	20.5	0.84
丸	20.0	0.60
六角	19.5	0.61
六角	18.5	0.61
六角	18.0	0.62
六角	17.0	0.63
六角	16.0	0.63
六角	15.0	0.62

表2 プラスチック試料 表1 金属試料

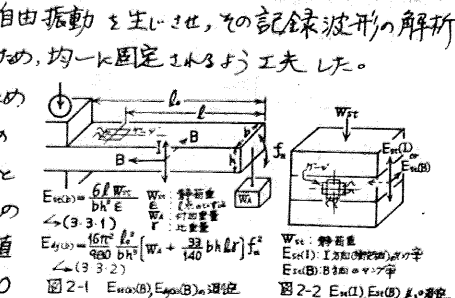


図2-1  $E_{st}(b), E_{st}(I), E_{st}(B)$ の測定

図2-2  $E_{st}(I), E_{st}(B)$ の測定

$E_{dy}(b)$ ,  $E_{dy}(I)$  の関係を、図 4 に自由振動数  $f_n$  と  $E_{dy}(b)(B)$  について示す。温度に関しては、PH, PC は安定 (±5%), ABS, AC, VC, PA は 6~7% / 15°C の差を生じる。PE, N6 は急変する。 $f_n$  についても PH は一定であるが、AC はやや影響を受けるようだ。この際、 $E_{dy}(b)$ ,  $E_{dy}(I)$  は、金属の試験片 (幅 1cm, 高さ 4cm,  $l=10$ ,  $l_0=14$ cm) の測定も同時に行なつてあるが、その安定性に比べて、プラスチックへの影響を受けることが明瞭である。

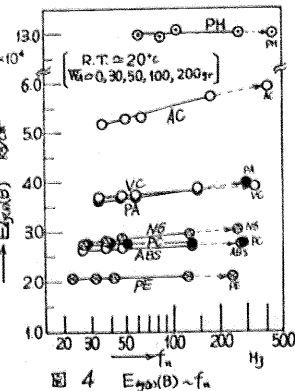
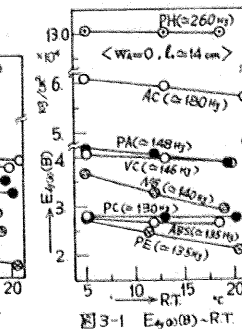


図 3-2  $E_{dy}(I)$  ~  $R.T.$

#### 4. 金属に対する $f(E)$ の式について

4.1 NSS3 壓子による関係式 表 1 の試験料に対して得られた結果を図 5 に示す。図 5-1 の縦横軸は球と平面との接触圧力 Hertz の弹性接触輪の結果と一致する。保持軸の効果:  $h_k$  を差引いて考慮すべきものとして整理してある。前報での同様の整理すると実験点は同じ位置に分布する。接触部が直角に走るエリギーの観点からの式が図 5-2 中の式 (4.1.1), (4.1.2) であるが、 $h_k$  を考慮した式 (4.1.2) の結果は前報と同じ約 0.6 の値となる。図 5-3 は凹球面と球の弹性接触時における Hertz の弹性式を直線で記入したもので、実験点はその近くに在る。式 (4.1.2), (4.1.4) に対する値からみると、光端球压子と大量金属試験料平面との衝突においては、保持軸の弾性効果を考慮すれば Hertz の弹性接触の式を適用して得られる結果と一致するといふことが明らかになった。

新銅、黄銅、HS21 の試験料は、 $h_{oa} (= 2, 1, 0.5, 0.25 \text{ cm})$  が大きめ、 $C_0 = 0.6$  からずれず傾向は同じであるが、これは、くぼみの縁の盛り上がりが  $h_{oa}$  が大きめであるため、 $\delta_p$  が小さくなる。HS21 は想定した  $f(E)$  の値ものが違うらしいと思われる。

5. プラスチックへの衝突実験と  $f(E)$  の式の適用結果について

5.1 衝突実験 装置は前報と同じであるが、ヤフ率が低いため押付力は 150kgとした。試験料の温度依存性が顕著なため、実験の 5~6 時間前より室温 (R.T.) を一定に保つよう考慮し、特に試験料温度を考慮する。衝突後試験面上のくぼみは観察のみに止めた。(表 3)

5.2  $f(E)$  の適用 金属と異なり、機械的弾性値が多種の因子に強く影響されるため、式の適用結果の判定を厳密にするには困難であるが、比較的のデータの補正是以下の方法によった。①  $E_{dy}$  の周波数依存性に対して 衝突波形と振動

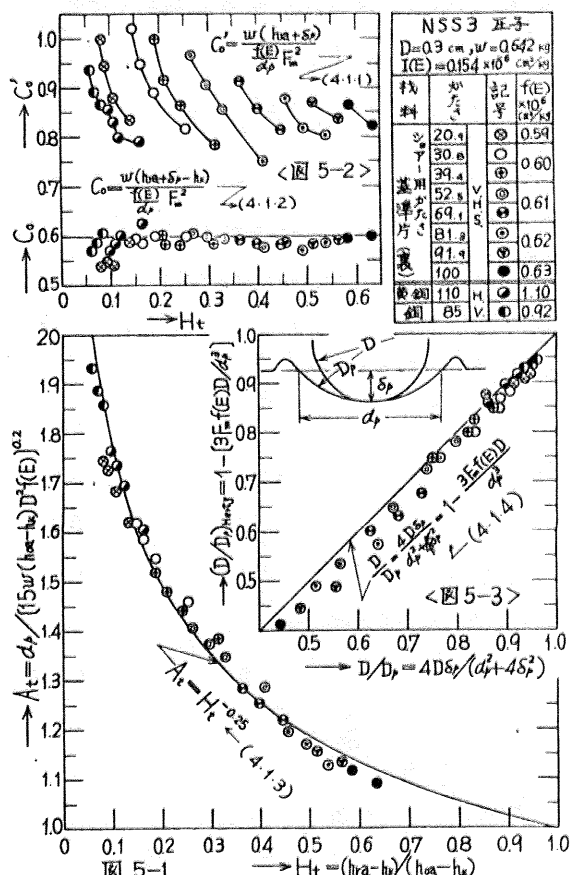


図 5-1  $E_{dy}(B)$  ~  $H_t$

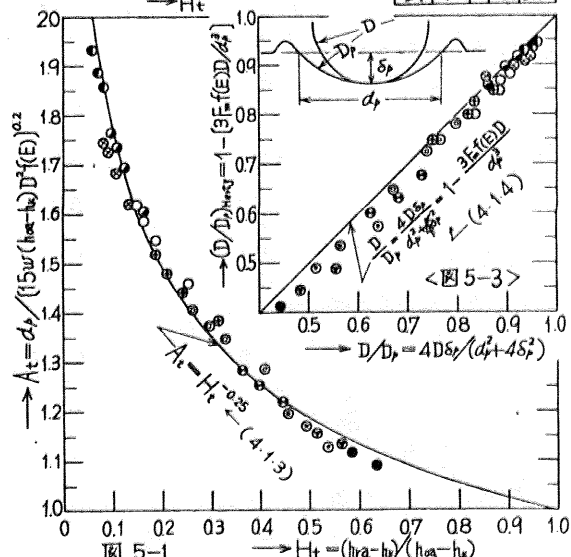
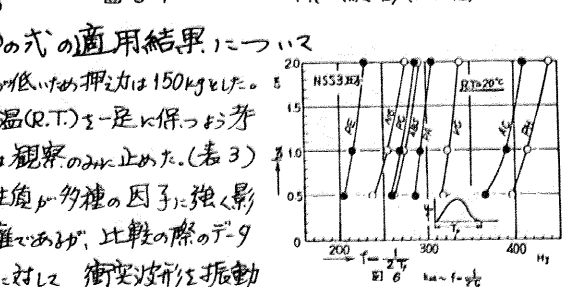


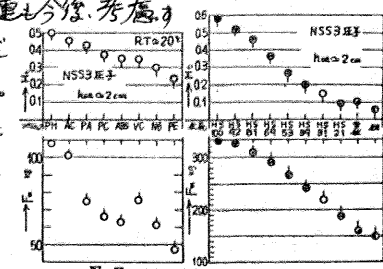
図 5-2  $E_{dy}(I)$  ~  $H_t$



の周期の一部のみならず得られた結果が図6である。これから、衝突時の周波数の極端値を知るに加え、図4中の矢印からその時の $E_{dy}$ を示す。②温度依存性に対して、衝突実験時の室温に基づき図3により補正する。③試料の方向性に対して、衝突方向 $E_{st}(I)$ とそれに直角な $E_{st}(B)$ の比を表2に示す。PHの大きさの問題立つが、原因はおそらく基材(紙等)によると思われる。ABS, NGの場合、圧延が結晶の方向性をもたらす。この $E_{st}(B)/E_{st}(I)$ より方向性を補正する。以上の補正を行ふと、得たヤク率を $E_{dy}(I, f)$ とした。さらに、測定したボアン比(表2)からすると、金属と同じ、 $1 - \mu^2 \approx 0.9$ となる。 $f(E) = 0.9 / E_{dy}(I, f)$ の値を示す。一方、衝突時の $F_m$ ,  $hra$ を式(4.1.5)に代入して得られた値を、その横の欄に記入してある。両欄を比較すると次のようことが言える。

式(4.1.5)による値は、R.T. ≈ 8°C, 20°C の場合、ともに図3に示す温度依存性の比率が得られており、10°C 位の温度差による試料の性質の変化を表わすことができる。数値的には、PE, PA を除くと良い一致がみられる。衝突時の周波数近辺での動的ヤク率を表現していると言える。さらに、異なる周波数での $E_{dy}$ を求めたことにより、圧子条件の変化(大幅な)における可能であることも図6より分る。PE に關しては、応力が大きくなるとヤク率の低下が激しくなるとされ、衝突におけるばね周辺の平坦ひびみの大きさ等との関連も今後考慮すべきである。PA については、測定上における他の因子によるものなど考慮されなければならない。PH は方向性を考慮して始めて一致したことと注目したい。

図7によると同じ圧子条件下でのプラスチックと金属に対する $H_t$ ,  $F_m$ と $hra$ が、 $H_t$ のみでは高硬度試料とプラスチックに差がみられないが、 $F_m$ と $hra$ の間には大きな差がある。また $f(E)$ 値を考慮することにより、明確な区別が可能となる。「硬さ」という点で考慮するには、この明確な $f(E)$ 値の差を基礎とする。



## 6. 結 論

以上の結果を総合すると、次のようにまとめることができる。

- (1) 金属に比べ顕著な温度依存性、周波数依存性、基材の有無等による方向性とあるプラスチック試料に対し、若干の温度条件周波数条件下でのヤク率等の測定を行ない、その試料特性を求めた。
- (2) プラスチック用に高出力を高めた圧子を作り、金属に対する衝突実験を行ない、前報と同じような諸実験式を得た。これ際、先端球形荷重の弾性効果による $H_t$ と考慮すれば、Hertz の弾性接触論による結果と一致することを補足し、 $F_m$ ,  $hra$ の2測定量による圧子と試料の弾性パラメータの式:  $f(E) : (4.1.5)$ を再提示した。
- (3) 前項の圧子によるプラスチックへの衝突実験を行ない、測定された $F_m$ ,  $hra$ を用いての $f(E)$ による $f(E)$ 値を算出した。その値を試料特性を基にして種々の補正を行なって得られた $f(E)$ 値と比較した所、PE, PA を除き定量的一致がみられた。PE, PA については、たとえば、(ばね周辺の平坦ひびみとの関連や、他の因子によるものかなど)検討が必要であるが、温度依存性に處しては、定性的一致が見られてい。さらに衝突時の金属との比較といふ点からすれば、 $H_t$ の差ではなく、 $F_m$ の差、すなわち $f(E)$ 値を考慮することにより兩者の値の明確な区別が可能であり、今後、試料の「硬さ」を考慮する上での基礎となるものである。
- (4) プラスチックの機械的性質は全般に時間依存していることから、時間の経過無視した量の表示は意味がない。<sup>(6)</sup>この点からすれば、衝突方式は、あくまでも条件(時間)下で得られるところ、短時間内に、自動的に測定が可能であり、かつ簡便であり、広範な試料に対する同一方式を採用することができる等の点から、工業的にも意義を有し、大いに利用が期待される。

## 参 考 文 献

- (1) 石橋・下田、機講論集(座標) 1978 (3) S. TISHOSHKO, 工業振動力学専門書 (5) TABOR, D., Proc. Roy. Soc. A192 (1948) 他
- (2) 機械学会編、材料力学(上), 1964 (4) GOLDSMITH, IMPACT, ARNOLD, 1960 (6) 機学会誌, Vol. 63, No. 497, 1960, 他